

# Уравнения переноса. Схемы «бегущего» счета

Рассмотрим ряд наиболее часто используемых разностных схем, аппроксимирующих начально-краевые задачи для линейного уравнения переноса:

$$\frac{\partial u}{\partial t} + c(x, t) \frac{\partial u}{\partial x} = f(x, t),$$

где функция  $c(x, t)$  представляет собой скорость переноса, а функция  $f(x, t)$  описывает источники и стоки.

## 1 Схемы «бегущего» счета

Будем рассматривать разностные схемы для уравнения переноса на равномерной сетке с шагом  $h$  по переменной  $x$  и шагом  $\tau$  по переменной  $t$ :

$$x_n = n \cdot h, \quad n = 0, 1, \dots, N, \quad t_j = j \cdot \tau, \quad j = 0, 1, \dots, J.$$

Так как рассматриваемое уравнение переноса является дифференциальным уравнением в частных производных первого порядка, то для его аппроксимации необходимо использовать шаблон, содержащий узлы сетки, принадлежащие как минимум двум временным и двум пространственным слоям. Четыре основных шаблона, используемых при аппроксимации дифференциального оператора  $L = \frac{\partial}{\partial t} + c \frac{\partial}{\partial x}$ , представлены на рис. 1.

В случае а) разностный оператор  $L_{h\tau}$ , аппроксимирующий дифференциальный оператор  $L$ , имеет вид:

$$L_{h\tau}u = \frac{u_n^{j+1} - u_n^j}{\tau} + c_n^j \frac{u_n^j - u_{n-1}^j}{h}.$$

Для любой гладкой функции  $u(x, t)$  разностное выражение  $L_{h\tau}u$  аппроксимирует выражение  $Lu$  в точке  $(x_n, t_j)$  с погрешностью  $O(\tau + h)$ :

$$L_{h\tau}u = \left( \frac{\partial u}{\partial t} + c \frac{\partial u}{\partial x} \right) \Big|_{x_n, t_j} + O(\tau + h).$$

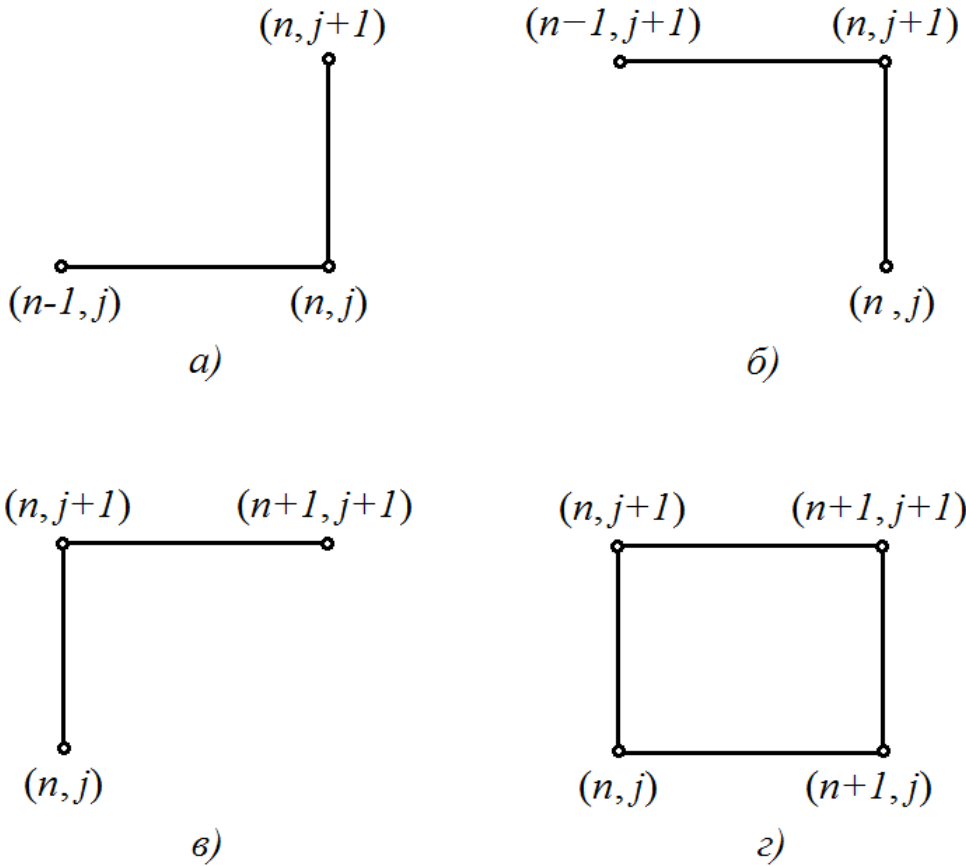


Рис. 1: Основные шаблоны в схемах бегущего счета

Следовательно, разностное уравнение  $L_{h\tau}y = \varphi$ , где  $\varphi_n^j = f(x_n, t_j)$ , аппроксимирует уравнение переноса с погрешностью  $O(\tau + h)$ .

В случае б) разностный оператор  $L_{h\tau}$  имеет вид:

$$L_{h\tau}u = \frac{u_n^{j+1} - u_n^j}{\tau} + c_n^{j+1} \frac{u_n^{j+1} - u_{n-1}^{j+1}}{h},$$

и выражение  $L_{h\tau}u$  аппроксимирует  $Lu$  в точке  $(x_n, t_{j+1})$  с погрешностью  $O(\tau + h)$ :

$$L_{h\tau}u = \left( \frac{\partial u}{\partial t} + c \frac{\partial u}{\partial x} \right) \Big|_{x_n, t_{j+1}} + O(\tau + h).$$

Следовательно, разностное уравнение  $L_{h\tau}y = \varphi$ , где  $\varphi_n^j = f(x_n, t_{j+1})$ , аппроксимирует уравнение переноса с погрешностью  $O(\tau + h)$ .

В случае в) разностный оператор  $L_{h\tau}$  имеет вид:

$$L_{h\tau}u = \frac{u_n^{j+1} - u_n^j}{\tau} + c_n^{j+1} \frac{u_{n+1}^{j+1} - u_n^{j+1}}{h}.$$

Выражение  $L_{h\tau}u$  аппроксимирует  $Lu$  в точке  $(x_n, t_{j+1})$  с погрешностью  $O(\tau + h)$ :

$$L_{h\tau}u = \left( \frac{\partial u}{\partial t} + c \frac{\partial u}{\partial x} \right) \Big|_{x_n, t_{j+1}} + O(\tau + h).$$

Следовательно, разностное уравнение  $L_{h\tau}y = \varphi$ , где  $\varphi_n^j = f(x_n, t_{j+1})$ , аппроксимирует уравнение переноса с погрешностью  $O(\tau + h)$ .

В случае г) производная  $\frac{\partial u}{\partial t}$  аппроксимируется как среднее арифметическое односторонних разностных производных по  $t$ , взятых при  $x = x_n$  и  $x = x_{n+1}$ , а производная  $\frac{\partial u}{\partial x}$  — как среднее арифметическое разностных производных по  $x$ , взятых на слоях  $j$  и  $j+1$ :

$$L_{h\tau}u = \frac{1}{2} \left( \frac{u_n^{j+1} - u_n^j}{\tau} + \frac{u_{n+1}^{j+1} - u_{n+1}^j}{\tau} \right) + \frac{c(x_n + 0.5h, t_j + 0.5\tau)}{2} \left( \frac{u_{n+1}^{j+1} - u_n^{j+1}}{h} + \frac{u_{n+1}^j - u_n^j}{h} \right).$$

Для любой гладкой функции  $u(x, t)$  разностное выражение  $L_{h\tau}u$  за счет своей симметрии аппроксимирует  $Lu$  в центральной точке шаблона  $(x_n + 0.5h, t_j + 0.5\tau)$  с погрешностью второго порядка по  $\tau$  и  $h$ :

$$L_{h\tau}u = \left. \left( \frac{\partial u}{\partial t} + c \frac{\partial u}{\partial x} \right) \right|_{x_n + 0.5h, t_j + 0.5\tau} + O(\tau^2 + h^2).$$

Следовательно, разностное уравнение  $L_{h\tau}y = \varphi$ , где  $\varphi_n^j = f(x_n + 0.5h, t_j + 0.5\tau)$ , аппрокси- мирует уравнение переноса с погрешностью  $O(\tau^2 + h^2)$ .

Разностные схемы для уравнения переноса, в которых для аппроксимации дифференциального оператора используется один из шаблонов, приведенных на рис. 1, называются схемами *бегущего счета*.

## 2 Устойчивость схем бегущего счета по начальным данным

Исследуем устойчивость приведенных выше схем бегущего счета по начальным данным методом гармоник. Для этого рассмотрим соответствующие разностные схемы для задачи Коши на прямой:

$$\begin{cases} \frac{\partial u}{\partial t} + c \frac{\partial u}{\partial x} = 0, & x \in (-\infty, +\infty), \quad t > 0, \\ u(x, 0) = \mu(x), & x \in (-\infty, +\infty) \end{cases} \quad (2.1)$$

в частном случае, когда скорость переноса  $c$  постоянная.

Введем равномерную сетку

$$x_n = n \cdot h, \quad n = 0, \pm 1, \pm 2, \dots, \quad t_j = j \cdot \tau, \quad j = 0, 1, \dots$$

*Схема а).* Аппроксимируя разностный оператор уравнения в задаче (2.1) с помощью шаблона а), получаем разностную схему:

$$\begin{cases} \frac{y_n^{j+1} - y_n^j}{\tau} + c \frac{y_n^j - y_{n-1}^j}{h} = 0, & n = 0, \pm 1, \pm 2, \dots, \quad j = 0, 1, \dots \\ y_n^0 = \mu(x_n), & n = 0, \pm 1, \pm 2, \dots \end{cases} \quad (2.2)$$

Погрешность  $\delta y_n^j$  решения разностной схемы (2.2), обусловленная погрешностью начальных данных, будет удовлетворять уравнению

$$\delta y_n^{j+1} = \delta y_n^j - \frac{c\tau}{h} (\delta y_n^j - \delta y_{n-1}^j).$$

Разложим сеточную функцию  $\delta y_n^j$  в ряд по  $e^{iqx_n}$ :

$$\delta y_n^j = \sum_q \delta y_{n,q}^j = \sum_q C_q^j e^{iqx_n}.$$

Так как схема (2.2) является линейной двухслойной схемой с постоянными коэффициентами, то на слое  $j + 1$  погрешность будет иметь вид:

$$\delta y_n^{j+1} = \sum_q \delta y_{n,q}^{j+1} = \sum_q \lambda_q C_q^j e^{iqx_n},$$

где  $\delta y_{n,q}^{j+1} = \lambda_q \delta y_{n,q}^j$ ,  $\lambda_q$  — множители роста.

Введем обозначения  $r = \frac{c\tau}{h}$  и  $\alpha_q = qh$ . Тогда, рассматривая уравнения для каждой гармоники  $\delta y_{n,q}^j$  в отдельности, получаем:

$$\delta y_{n,q}^{j+1} = \delta y_{n,q}^j - r (\delta y_{n,q}^j - \delta y_{n-1,q}^j),$$

или, что то же самое,

$$\lambda_q C_q^j e^{i\alpha_q n} = C_q^j e^{i\alpha_q n} - r (C_q^j e^{i\alpha_q n} - C_q^j e^{i\alpha_q (n-1)}).$$

Сокращая на  $C_q^j e^{i\alpha_q n}$ , получаем:

$$\lambda_q(\alpha_q) = 1 - r(1 - e^{-i\alpha_q}) = 1 - r + re^{-i\alpha_q}.$$

Спектр  $\lambda_q(\alpha_q)$  оператора перехода со слоя на слой в рассматриваемой задаче представляет собой окружность на комплексной плоскости с центром в точке  $1 - r$  и радиусом  $|r|$ . Так как  $\lambda_q(\alpha_q)$  не зависит от  $\tau$  явным образом, то спектральное условие устойчивости схемы принимает вид

$$|\lambda_q| \leq 1, \quad \forall q. \quad (2.3)$$

Следовательно, для того чтобы схема (2.2) была устойчивой по начальным данным, необходимо и достаточно, чтобы спектр оператора перехода со слоя на слой полностью

содержался в круге единичного радиуса с центром в нуле на комплексной плоскости. Так как  $r = \frac{c\tau}{h}$ , то в случае  $c > 0$  (перенос в положительном направлении оси  $x$ ) параметр  $r$  также положителен, а при  $c < 0$  (перенос против оси  $x$ ) параметр  $r$  отрицателен. На рис. 2 и 3 представлен спектр  $\lambda(\alpha)$  в случае  $r > 0$  и  $r < 0$  соответственно.

Очевидно, что в случае  $c > 0$  условие (2.3) выполнено при  $r \leq 1$  или, что то же самое, при  $c\tau \leq h$ . В случае  $c < 0$  спектр оператора перехода со слоя на слой лежит вне единичной окружности при любом соотношении шагов  $\tau$  и  $h$  (см. рис. 3), то есть схема (2.2) неустойчива.

Итак, при  $c > 0$  схема (2.2) условно устойчива. Условие ее устойчивости  $c\tau \leq h$  называется *условием Куранта*. При  $c < 0$  схема (2.2) неустойчива, и пользоваться ею нельзя.

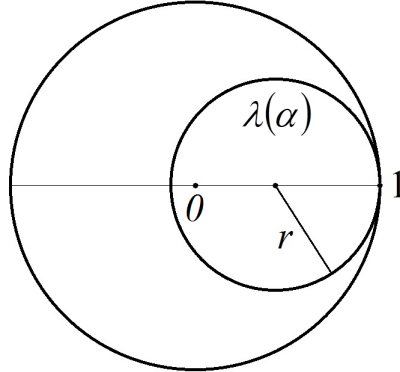


Рис. 2: Спектр оператора перехода со слоя на слой в схеме (2.2) при  $c > 0$ ,  $0 < r \leq 1$

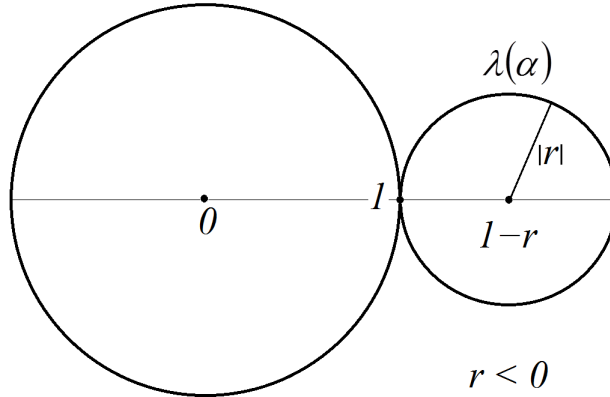


Рис. 3: Спектр оператора перехода в схеме (2.2) при  $c < 0$

**Замечание 2.1** В случае  $c < 0$  можно построить аналог схемы (2.2), если вместо шаблона а) использовать его зеркальное отображение относительно  $x = x_n$  (см. рис.4). Соответствующая схема имеет вид

$$\begin{cases} \frac{y_n^{j+1} - y_n^j}{\tau} + c \frac{y_{n+1}^j - y_n^j}{h} = 0, & n = 0, \pm 1, \pm 2, \dots, \quad j = 0, 1, \dots \\ y_n^0 = \mu(x_n), & n = 0, \pm 1, \pm 2, \dots \end{cases} \quad (2.4)$$

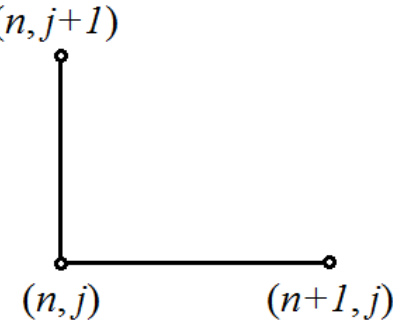


Рис. 4: Аналог шаблона а) в случае  $c < 0$

*Схема (2.4) устойчива при выполнении условия Куранта  $|c|\tau \leq h$ .*

*Схемы б) и в).* Так как шаблоны б) и в) являются зеркально симметричными относительно  $x = x_n$ , то достаточно исследовать на устойчивость схему с одним из этих шаблонов. Для схемы со вторым шаблоном условие устойчивости будет получаться из условия устойчивости первой при замене  $c$  на  $-c$ .

Рассмотрим, например, схему б):

$$\begin{cases} \frac{y_n^{j+1} - y_n^j}{\tau} + c \frac{y_n^{j+1} - y_{n-1}^{j+1}}{h} = 0, & n = 0, \pm 1, \pm 2, \dots, \quad j = 0, 1, \dots \\ y_n^0 = \mu(x_n), & n = 0, \pm 1, \pm 2, \dots, \end{cases} \quad (2.5)$$

Пользуясь теми же рассуждениями, что и в случае схемы а), приходим к уравнению для множителей роста:

$$\frac{\lambda_q - 1}{\tau} + c \lambda_q \frac{1 - e^{-i\alpha_q}}{h} = 0,$$

откуда получаем

$$\lambda_q = \frac{1}{1 + r - re^{-i\alpha_q}} = \frac{1}{\beta_q}, \quad \beta_q = 1 + r - re^{-i\alpha_q}, \quad r = \frac{c\tau}{h}.$$

Очевидно, что условие  $|\lambda_q| \leq 1$  выполняется, если  $|\beta_q| \geq 1$ . При изменении параметра  $\alpha_q$  от минус до плюс бесконечности значения функции  $\beta_q(\alpha_q)$  пробегают окружность радиуса  $|r|$  с центром в точке  $1 + r$  на комплексной плоскости.

При  $c > 0$  параметр  $r$  также положителен. Следовательно, окружность, заполняемая значениями  $\beta_q$ , расположена вне единичного круга с центром в начале координат и касается единичной окружности в точке 1 (рис. 5). Это означает, что  $|\beta_q| \geq 1$  при любом соотношении  $\tau$  и  $h$ , то есть при положительном  $c$  схема (2.5) безусловно устойчива по начальным данным.

Если скорость переноса  $c$  отрицательна, то и параметр  $r$  отрицателен, и условие  $|\beta_q| \geq 1$  устойчивости схемы (2.5) будет выполнено при  $|r| \geq 1$  (см. рис. 6). Следовательно,

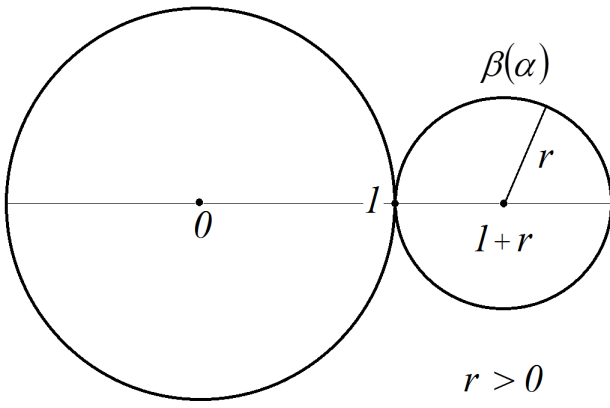


Рис. 5: Значения функции  $\beta_q(\alpha_q)$  в случае  $c > 0$

при  $c < 0$  схема (2.5) является условно устойчивой по начальным данным, и условие ее устойчивости имеет вид  $|c|\tau \geq h$ .

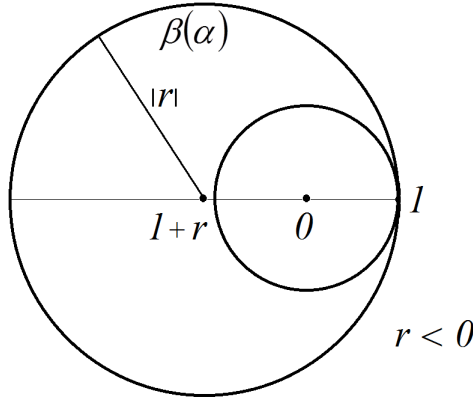


Рис. 6: Значения функции  $\beta_q(\alpha_q)$  в случае  $c < 0$

Заметим, что схема в) является аналогом схемы б), если знак параметра  $c$  поменять на противоположный. Следовательно, схема в) безусловно устойчива при  $c < 0$  и условно устойчива при  $c > 0$ . Условие ее устойчивости при  $c > 0$  имеет вид  $c\tau \geq h$ .

С помощью метода гармоник можно показать, что схема г)

$$\begin{cases} \frac{1}{2} \left( \frac{y_n^{j+1} - y_n^j}{\tau} + \frac{y_{n+1}^{j+1} - y_{n+1}^j}{\tau} \right) + \frac{c}{2} \left( \frac{y_{n+1}^{j+1} - y_n^{j+1}}{h} + \frac{y_{n+1}^j - y_n^j}{h} \right) = 0, \quad n = 0, \pm 1, \dots, \quad j = 0, 1, \dots \\ y_n^0 = \mu(x_n), \quad n = 0, \pm 1, \pm 2, \dots, \end{cases} \quad (2.6)$$

безусловна устойчива при любом знаке параметра  $c$ .

Метод гармоник применим только для схем с постоянными коэффициентами. Для исследования на устойчивость разностных схем для уравнений с переменными коэффициентами широко используют прием «замораживания» коэффициентов уравнения. При этом на устойчивость исследуется схема с постоянными коэффициентами, равными своим

значениям в какой-то выбранной точке. Схему с переменными коэффициентами считают устойчивой, если условие устойчивости выполняется для соответствующей схемы с постоянными коэффициентами независимо от того, в какой точке были «заморожены» коэффициенты.

### 3 Реализация схем бегущего счета для начально-краевой задачи для линейного уравнения переноса

В качестве примера рассмотрим начально-краевую задачу

$$\begin{cases} \frac{\partial u}{\partial t} + 2 \frac{\partial u}{\partial x} = x + t, & x \in (0, 1], t \in (0, 1], \\ u|_{x=0} = e^{-t}, & u|_{t=0} = \cos(\pi x). \end{cases} \quad (3.1)$$

Задача (3.1) допускает аналитическое решение, которое можно получить методом характеристик. Уравнение характеристик имеет вид:

$$dt = \frac{dx}{2}.$$

Интегрируя его, получаем однопараметрическое семейство характеристик  $2t - x = C$ , где  $C$  — произвольное число. Введем вдоль характеристики параметр  $\tau$ :

$$d\tau = dt = \frac{dx}{2}.$$

На каждой характеристике начало отсчета параметра  $\tau$  выберем так, чтобы  $\tau$  обращалось в ноль при  $t = 0$ . Тогда  $\tau = t$ . Перейдем от переменных  $(x, t)$  к переменным  $(\tau, C)$ :

$$\begin{cases} x = 2\tau - C, \\ t = \tau. \end{cases}$$

Задача (3.1) в новых переменных принимает вид:

$$\begin{cases} \frac{dU}{d\tau} = 3\tau - C, \\ U|_{\tau=0} = \cos(\pi C), & C \leq 0, \\ U|_{\tau=C/2} = e^{-C/2}, & C > 0, \end{cases} \quad (3.2)$$

где  $U(\tau, C) = u(x(\tau, C), t(\tau, C))$ . Общее решение уравнения (3.2):

$$U(\tau, C) = \frac{3}{2}\tau^2 - C\tau + A(C).$$

Найдем  $A(C)$  из дополнительных условий задачи (3.2):

$$U|_{\tau=0} = A(C) = \cos(\pi C), \quad C \leq 0,$$

$$U|_{\tau=C/2} = \frac{3}{2} \frac{C^2}{4} - \frac{C^2}{2} + A(C) = e^{-C/2} \Rightarrow A(C) = \frac{C^2}{8} + e^{-C/2}, \quad C > 0.$$

Следовательно,

$$U(\tau, C) = \begin{cases} \frac{3}{2}\tau^2 - C\tau + \cos(\pi C), & C \leq 0, \\ \frac{3}{2}\tau^2 - C\tau + \frac{C^2}{8} + e^{-C/2}, & C > 0. \end{cases}$$

Возвращаясь к исходным переменным, получаем аналитическое решение задачи (3.1):

$$u(x, t) = \begin{cases} xt - \frac{t^2}{2} + \cos(\pi(2t - x)), & 2t \leq x, \\ xt - \frac{t^2}{2} + \frac{(2t - x)^2}{8} + e^{-(t-x/2)}, & 2t > x. \end{cases} \quad (3.3)$$

График аналитического решения представлен на рис 7.

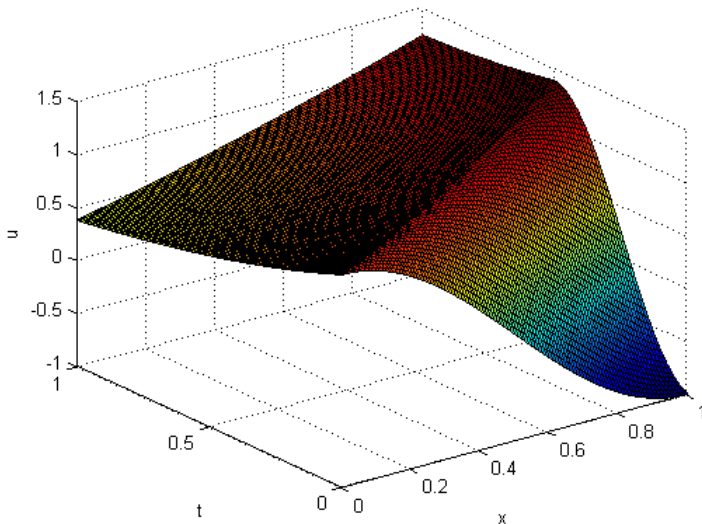


Рис. 7: Аналитическое решение задачи (3.1)

Введем в расчетной области равномерную сетку

$$x_n = n \cdot h, \quad n = 0, 1, \dots, N, \quad N \cdot h = 1, \quad t_j = j \cdot \tau, \quad j = 0, 1, \dots, J, \quad J \cdot \tau = 1. \quad (3.4)$$

Схема а) для задачи (3.1) имеет вид:

$$\begin{cases} \frac{y_n^{j+1} - y_n^j}{\tau} + 2\frac{y_n^j - y_{n-1}^j}{h} = x_n + t_j, & n = 1, 2, \dots, N, \quad j = 0, 1, \dots, J-1, \\ y_0^j = e^{-t_j}, & j = 0, 1, \dots, J, \\ y_n^0 = \cos(\pi x_n), & n = 0, 1, \dots, N. \end{cases} \quad (3.5)$$

Схема (3.5) устойчива при выполнении условия  $2\tau \leq h$ , или, что то же самое,  $J \geq 2N$ . Так как при  $n = 0$  и при  $j = 0$  сеточная функция  $y_n^j$  известна из граничных и начальных условий соответственно, то при каждом  $n = 1, 2, \dots, N - 1$  и каждом  $j = 0, 1, \dots, J - 1$  неизвестным является значение  $y_n^{j+1}$ , которое легко выражается из уравнения (3.5).

График численного решения задачи (3.1), полученного по схеме (3.5) в случае  $J = 2N$ , а также график погрешности численного решения, приведены на рис. 8 - 9.

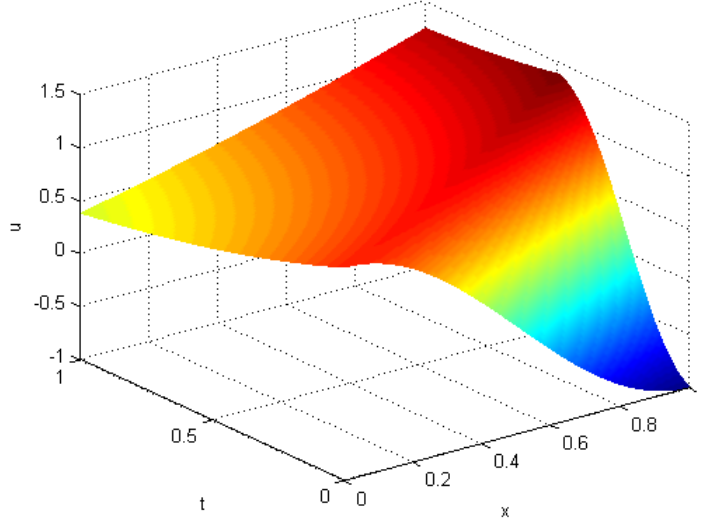


Рис. 8: Численное решение задачи (3.1) по схеме (3.5) в случае  $N = 100$  при выполнении условия устойчивости

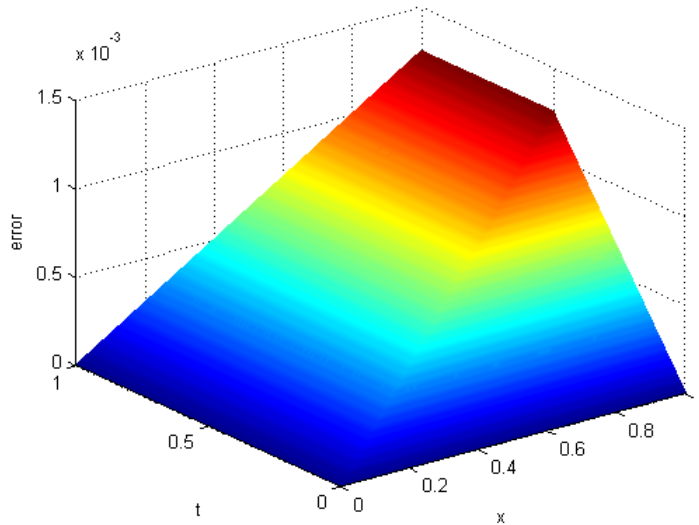


Рис. 9: Погрешность численного решения задачи (3.1) по схеме (3.5) при  $N = 100, J = 2N$

График погрешности решения в случае, когда условие устойчивости схемы (3.5) не выполнено, представлен на рис. 10. В этом случае схема расходится.

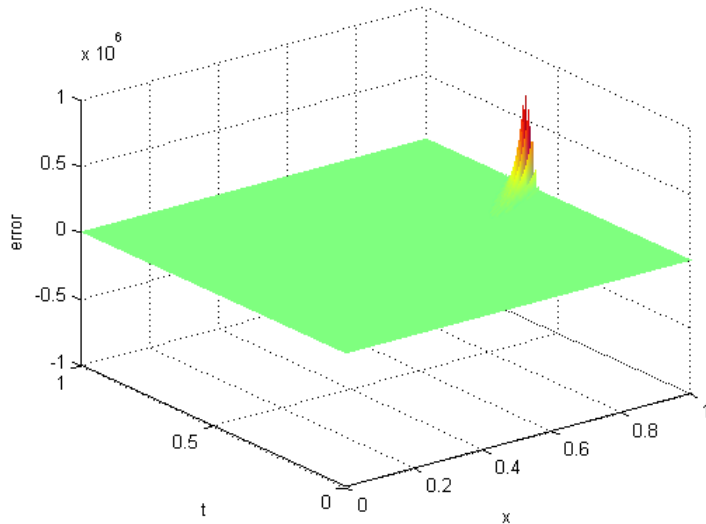


Рис. 10: Погрешность численного решения задачи (3.1) по схеме (3.5) при  $N = 100$ ,  $J = 2N - 20$

Схема б) для задачи (3.1) имеет вид:

$$\begin{cases} \frac{y_n^{j+1} - y_n^j}{\tau} + 2\frac{y_n^{j+1} - y_{n-1}^{j+1}}{h} = x_n + t_{j+1}, & n = 1, 2, \dots, N, \quad j = 0, 1, \dots, J-1, \\ y_0^j = e^{-t_j}, & j = 0, 1, \dots, J, \\ y_n^0 = \cos(\pi x_n), & n = 0, 1, \dots, N. \end{cases} \quad (3.6)$$

В данном случае ( $c = 2 > 0$ ) схема (3.6) безусловно устойчива. Как и в предыдущем случае, при каждом  $n = 1, 2, \dots, N$  и  $j = 0, 1, \dots, J-1$  неизвестным является значение  $y_n^{j+1}$ , которое находится из соответствующего уравнения (3.6).

Графики численного решения задачи (3.1), полученного по схеме (3.6), а также погрешности численного решения, представлены на рис. 11 - 12.

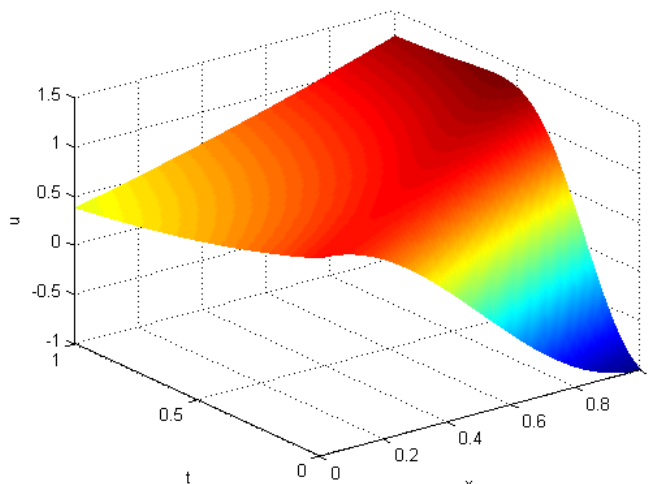


Рис. 11: Численное решение задачи (3.1) по схеме (3.6) в случае  $N = J = 100$

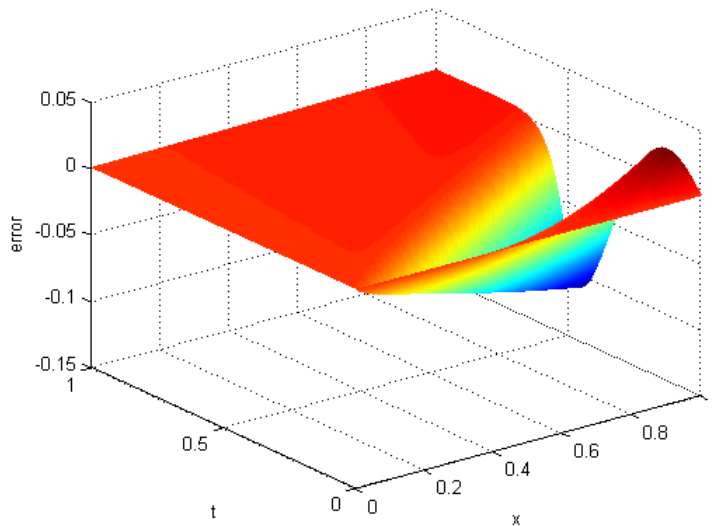


Рис. 12: Погрешность численного решения задачи (3.1) по схеме (3.6) при  $N = J = 100$

Схема в) в данном случае имеет вид:

$$\left\{ \begin{array}{l} \frac{y_n^{j+1} - y_n^j}{\tau} + 2\frac{y_{n+1}^{j+1} - y_n^{j+1}}{h} = x_n + t_{j+1}, \quad n = 0, 1, \dots, N-1, \quad j = 0, 1, \dots, J-1, \\ y_0^j = e^{-t_j}, \quad j = 0, 1, \dots, J, \\ y_n^0 = \cos(\pi x_n), \quad n = 0, 1, \dots, N. \end{array} \right. \quad (3.7)$$

Она устойчива, если шаги  $\tau$  и  $h$  удовлетворяют условию  $2\tau \geq h$ , или, что то же самое,  $J \leq 2N$ . Погрешность расчетов по схеме (3.7) в случае, когда условие устойчивости выполнено, и когда оно не выполнено, приведены на рис. 13 - 14.

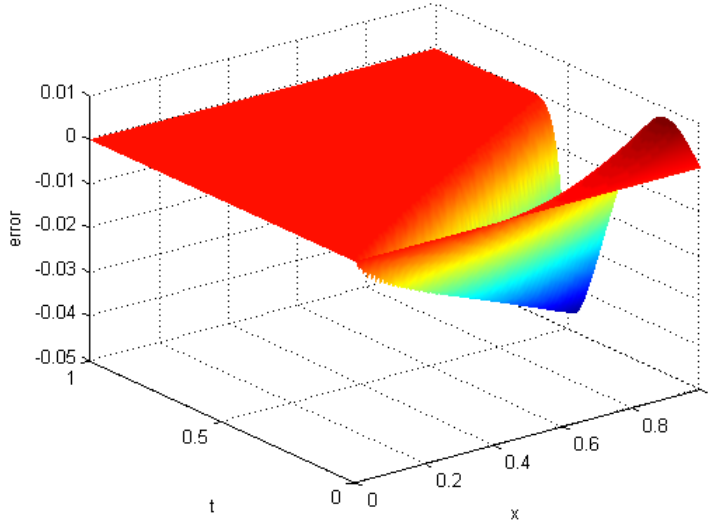


Рис. 13: Погрешность численного решения задачи (3.1) по схеме (3.7) при  $N = J = 100$   
(условие устойчивости выполнено)

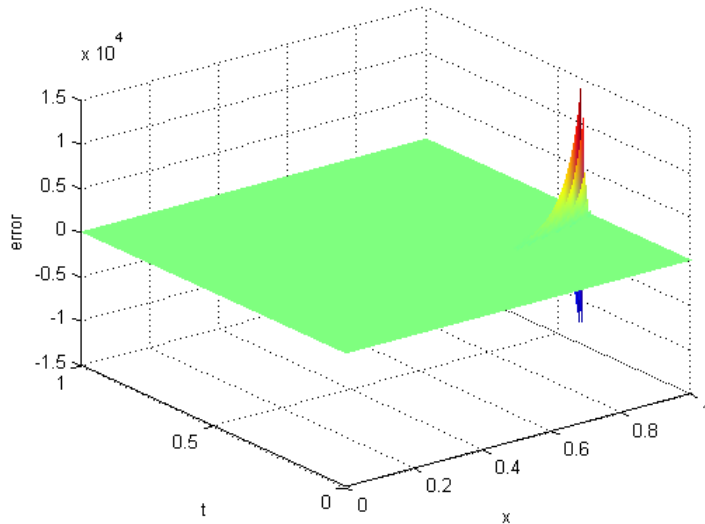


Рис. 14: Погрешность численного решения задачи (3.1) по схеме (3.7) при  $N = 100$ ,  $J = 2N + 20$  (условие устойчивости не выполнено)

Схема г) для задачи (3.1) имеет вид:

$$\left\{ \begin{array}{l} \frac{1}{2} \left( \frac{y_n^{j+1} - y_n^j}{\tau} + \frac{y_{n+1}^{j+1} - y_{n+1}^j}{\tau} \right) + \left( \frac{y_{n+1}^{j+1} - y_n^{j+1}}{h} + \frac{y_{n+1}^j - y_n^j}{h} \right) = \\ = (x_n + 0.5h) + (t_j + 0.5\tau), \quad n = 0, 1, \dots, N-1, \quad j = 0, 1, \dots, J-1, \\ y_0^j = e^{-t_j}, \quad j = 0, 1, \dots, J, \\ y_n^0 = \cos(\pi x_n), \quad n = 0, 1, \dots, N. \end{array} \right. \quad (3.8)$$

Эта схема безусловно устойчива. График погрешности численного решения, найденного по схеме (3.8) при  $N = J = 100$ , представлен на рис. 15.

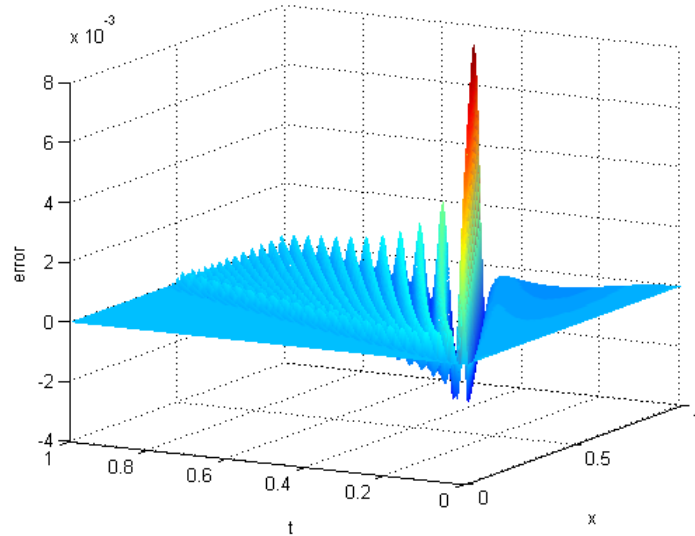


Рис. 15: Погрешность численного решения задачи (3.1) по схеме (3.8) при  $N = J = 100$

Волнообразный характер погрешности решения, полученного по схеме (3.8), есть следствие ее *немонотонности*.

Если для линейного однородного уравнения переноса поставлена задача Коши на прямой с монотонными начальными данными  $u(x, 0) = \mu(x)$ , то при любом  $t > 0$  профиль  $u(x, t)$  решения тоже будет оставаться монотонным. Разностные схемы, сохраняющие это свойство для численного решения, называются монотонными.

Двухслойная линейная монотонная схема для уравнения переноса не может иметь порядок точности  $p \geq 2$ .

## 4 Задачи для самостоятельного решения

1. С помощью метода гармоник покажите, что схема

$$\begin{cases} \frac{1}{2} \left( \frac{y_n^{j+1} - y_n^j}{\tau} + \frac{y_{n+1}^{j+1} - y_{n+1}^j}{\tau} \right) + \frac{c}{2} \left( \frac{y_{n+1}^{j+1} - y_n^{j+1}}{h} + \frac{y_{n+1}^j - y_n^j}{h} \right) = 0, \quad n = 0, \pm 1, \dots, \quad j = 0, 1, \dots \\ y_n^0 = \mu(x_n), \quad n = 0, \pm 1, \pm 2, \dots, \end{cases}$$

безусловна устойчива при любом знаке параметра  $c$ .

2. Решите аналитически и численно с помощью схемы бегущего счета начально-краевую задачу для уравнения переноса:

$$\begin{cases} \frac{\partial u}{\partial t} - \frac{\partial u}{\partial x} = e^{-(x+t)}, \quad x \in [-1, 0], \quad t \in (0, 1], \\ u(0, t) = t, \quad u(x, 0) = 0. \end{cases}$$

Сравните численное и аналитическое решения, оцените погрешность в каждом из четырех случаев.